

ΑΝΑΛΥΣΙΣ ΤΩΝ ΙΖΗΜΑΤΩΝ ΤΗΣ ΠΕΡΙΟΧΗΣ ΑΦΙΣΣΟΥ (ΣΠΑΡΤΗ)

ΥΠΟ

Α. ΠΑΝΑΓΟΥ, Γ. ΡΗ ΚΑΙ Ν. ΚΟΝΤΟΠΟΥΛΟΥ *

Περίληψις.— Είς τὴν παροῦσαν ἐργασίαν μελετῶνται τὰ ίζηματα τριῶν στρωμάτων οροφικῶν ἔνοτήτων τῶν χερσαίων πλειοκαινικῶν ἀποθέσεων τῆς περιοχῆς Ἀφισσοῦ - Σπάρτης.

* Η κατωτέρα ἔνοτης συγχροτεῖται ἀπὸ ἐρυθρωπά κροκαλοπαγῆ καὶ ψαμμίτας. Τὸ κλαστικὸν ὄλικὸν διαλαμβάνει καὶ γωνιώδη τεμάχια φυλλίτου καὶ χαλαζία.

* Η δευτέρα ἔνοτης συγχροτεῖται ἀπὸ ἐναλλασσόμενα στρώματα ψαμμιτῶν, κροκαλοπαγῶν Ἰλυολίθων καὶ ἀμμούχου πηλοῦ.

* Η τρίτη ἔνοτης σύγκειται κυρίως ἀπὸ καλῶς ταξιθετημένα κροκαλοπαγῆ καὶ ψαμμίτας.

Τὰ ὡς ἄνω ίζηματα παρουσιάζουν ἐρυθρὰν ὡς κιτρίνην χροιάν καὶ ἐναλλαγὴν ἀδρομερῶν καὶ λεπτομερῶν στρωμάτων ἀνενανονικότητος τινός.

Αἱ ιστολογικαὶ παρατηρήσεις ἀποδεικνύονται ὅτι τὰ πλεῖστα τῶν ίζημάτων εἰναι ἀποθέσεις Ἰλυορροῆς καὶ τινὰ τούτων σχηματισμοὶ φευμάτων. Τὰ ἐκ τῆς μελέτης δεδομένα ἀποδεικνύονται ὅτι εἰς τὴν ἐνθέματι περιοχὴν ἔχομεν κατ' ἀρχὴν ἀνάπτυξιν ἐνός, μικρῶν διαστάσεων, ἀλλούβιακοῦ φιπιδίου. *Ἐπὶ τῶν ἀποθέσεων τοῦ ἀλλούβιακοῦ τούτου φιπιδίου ὑπέρχεινται αἱ ἀποθέσεις ἐνός ἐκτενεστέρου ἀλλούβιακοῦ φιπιδίου μὲ πλέον ἀπομεμακρυσμένην πηγὴν τροφοδοσίας εἰς ὄλικόν.

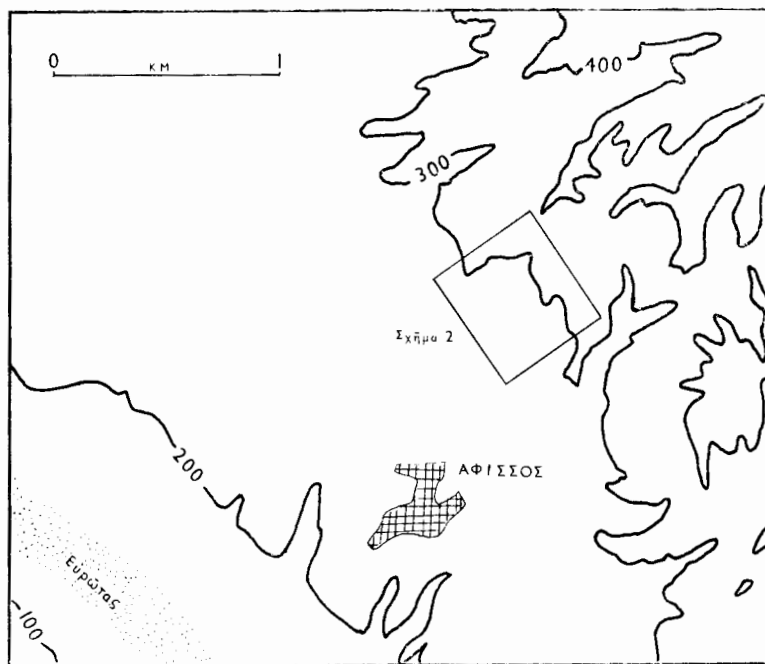
Αἱ ἀποθέσεις αὗται, τέλος, ἐπιστεγάζονται ἀπὸ ἀδρομερεῖς σχηματισμοὺς φευμάτων (ποτάμιοι).

Abstract.— Three stratigraphic units have been recognized in pliocene terrestrial deposits in the Eurotas valley at Afissos, east of Sparta. The lowest consist of red conglomerates and poorly sorted sands, deposited on a small alluvial fan. This is overlain by yellowish brown sandy muds, cut by channel-filling conglomeratic sediments. Textures suggest many of the coarser sediments are mudflow deposits, but some were laid down in stream channels. The conglomerates are quite mature, including rounded chert pebbles, and contain lithologies derived from at least 30 km from the present outcrops. The finer sediments have much irregular carbonate cementation, interpreted as «caliche». All these data suggest sedimentation on a large alluvial fan, approximately in the site of the present Eurotas valley above Sparta, with sediments derived from the north. The highest stratigraphic unit comprises thick well sorted conglomerates similar to those in the underlying sediments, believed deposited in a braided stream system.

* A. PANAGOS, G. PE and N. KONTOPOULOS.—Analysis of the sediments of Afissos (Sparta). *Ανεκοινώθη κατὰ τὴν Ἐπιστημονικὴν Συνεδρίαν τῆς 31ης Μαρτίου 1976.

ΕΙΣΑΓΩΓΗ

Αἱ ἐν θέματι ἵζηματογενεῖς ἀποθέσεις καλύπτουν σημαντικὴν ἔκτασιν καὶ ἐκτείνονται ΒΑ τῆς Σπάρτης, παρὰ τὸ χωρίον Ἀφισσός.



Σχ. 1. Χάρτης ἐμφαίνων τὴν θέσιν τῆς μελετηθείσης περιοχῆς.

Οἱ σχηματισμοὶ οὗτοι ἀναφέρονται ὑπὸ ἐρευνητῶν τοῦ Ἑλληνικοῦ χώρου καὶ σιγκεκριμένως ὑπὸ τῶν PHILIPPSON (1892), FREYBERG (1950), ΨΑΡΙΑΝΟΥ (1955) καὶ ΜΑΡΑΤΟΥ (1965). Οἱ ΨΑΡΙΑΝΟΣ θεωρεῖ τὰς ἀποθέσεις τῆς τάφρου τῆς Σπάρτης ὡς λιμναίας, ἐπικεκαλυμμένας ὑπὸ τεταρτογενῶν προσχώσεων.

1. ΣΚΟΠΟΣ. ΘΕΣΙΣ ΤΟΥ ΠΡΟΒΛΗΜΑΤΟΣ

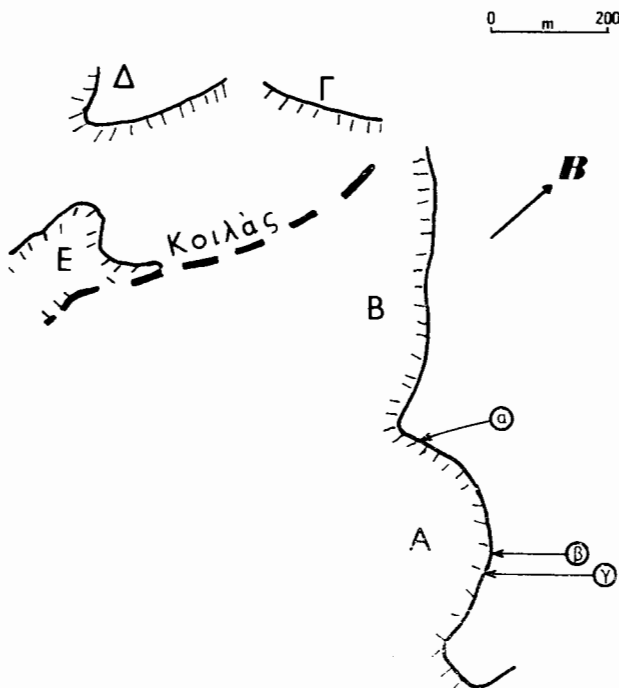
Κατὰ τὴν μελέτην τῶν ἵζημάτων τῆς ἐν θέματι περιοχῆς, ὡς κύριος σκοπὸς ἐτέθη ἡ διὰ συγχρόνων μεθόδων ἀνάλυσις τῶν ἵζηματογενῶν ἀποθέσεων τῆς περιοχῆς Ἀφισσοῦ καὶ ἡ διερεύνησις τοῦ τρόπου τῆς ἀποθέσεώς των. Κατ' ἐπέκτα-

σιν, τίθεται ώς πρόβλημα διαχρονικός και ή μελέτη του περιβάλλοντος ίζηματογενέσεως.

2. ΑΙ ΕΝ ΥΠΑΙΘΡΩ ΠΑΡΑΤΗΡΗΣΕΙΣ

Η περιοχή Αφισσοῦ (σχ. 1) προσφέρεται διὰ τὴν ἀνάλυσιν τῶν ίζημάτων της διότι συγκροτεῖται ἀπὸ λίαν χαρακτηριστικὰς ἐμφανίσεις, καλῶς ἐστρωμένας (εἰκ. 1 καὶ 2).

Εἰς τὴν θέσιν Δρώπη ἐπελέγησαν αἱ τομαὶ A, B, Γ, Δ καὶ E τοῦ σχήματος 2 εἰς ἃς ἐγένετο πυκνοτάτη δειγματοληψία.

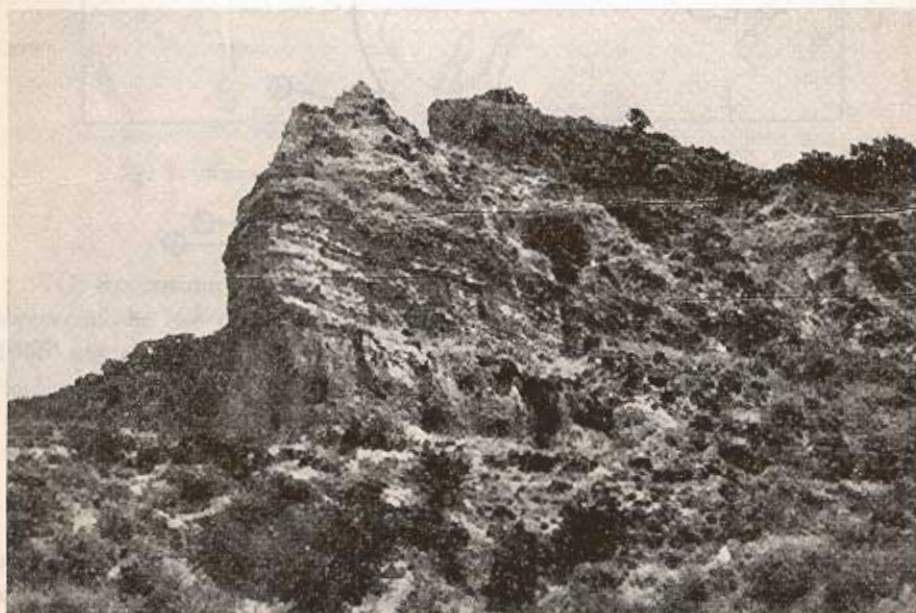


Σχ. 2 Σχηματική παράστασις τῶν θέσεων δειγματοληψίας A, B, Γ, Δ καὶ E (κάτοψις).

Κατὰ τὴν ὡς ἄνω δειγματοληψίαν κατεβλήθη προσπάθεια ὥστε ἔκαστον δεῖγμα (ἢ σειρὰ δειγμάτων) ν' ἀντιπροσωπεύῃ ὕδιον στρῶμα. Τοιοῦτον τί, θεωρεῖται ὡς ἀπαραίτητος προϋπόθεσις διὰ τὴν μελέτην τῶν συνθηκῶν ίζηματογενέσεως τῶν ὑπὸ μελέτην ίζημάτων.

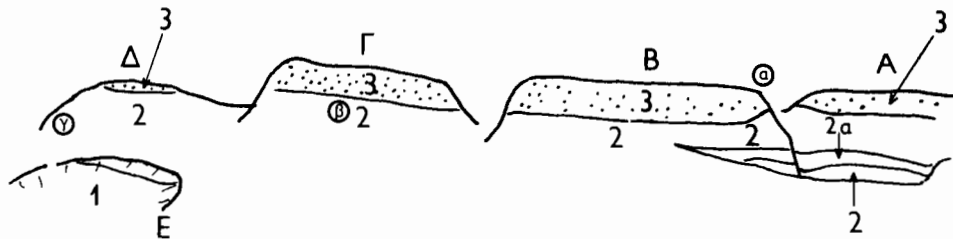


Εικ. 1.



Εικ. 2.

Ή εν ύπαιθρῳ παρατήρησις ἀπέδειξεν ὅτι ύπαρχουν τρεῖς (3) «στρωματογραφικαὶ ἐνότητες» ἢ κατανομὴ τῶν ὅποιων ἐμφαίνεται εἰς τὸ σχ. 3.



Σχ. 3. Αἱ τρεῖς (3) κύριαι στρωματογραφικαὶ ἐνότητες (1, 2 καὶ 3) τῆς θέσεως Δράπη, ἐν σχέσει πρὸς τὰς τομὰς Α, Β, Γ, Δ καὶ Ε.

Τὰ οὐσιώδη καὶ χαρακτηριστικὰ γνωρίσματα μιᾶς ἑκάστης τῶν ὡς ἄνω ἐνοτήτων ἔχουν ὡς ἀκολούθως :

Στρωματογραφικὴ ἐνότης No. 1.

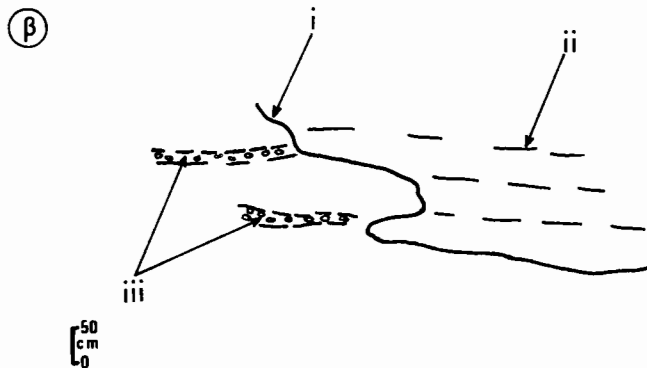
Τὸ δρατὸν πάχος τῆς ἐνότητος ταύτης φθάνει τὰ 30 περίπου μέτρα. Συγκροτεῖται κυρίως ἀπὸ ἐρυθρὸν ψαμμίτην καὶ ἀδρομερῆ κροκαλοπαγῆ. Τὰ κροκαλοπαγῆ, εἰς τὴν βάσιν τῆς ἐνότητος, εἶναι ὀλιγώτερον ταξιθετημένα ἐν σχέσει πρὸς τὰ κροκαλοπαγῆ τῆς κορυφῆς. Τὰ κλαστικὰ ἵζήματα περιλαμβάνουν ἐνταῦθα γωνιώδῃ τεμάχια φυλλίτου καὶ χάλικας χαλαζίου.

Στρωματογραφικὴ ἐνότης No. 2.

Τὸ δρατὸν πάχος τῆς ἐνότητος ταύτης φθάνει τὰ 100 περίπου μέτρα καὶ συγκροτεῖται ἀπὸ ἐναλλασσόμενα στρώματα ψαμμίτου (25 %) κροκαλοπαγῶν (30 %) καὶ ἰλιολίθων (mudstones) (45 %). Τὸ συνδετικὸν ὑλικὸν τῶν ψαμμιτῶν καὶ τῶν κροκαλοπαγῶν εἶναι ἀνθρακικόν. Τὸ κλαστικὸν ὑλικὸν τῶν κροκαλοπαγῶν σύγκειται κυρίως ἀπὸ καλῶς ἐστρογγυλευμένους χάλικας χαλαζίους κατὰ δεύτερον δὲ λόγον ἀσβεστολίθου καὶ κεφατολίθου. Εἰς τὴν τομὴν Α τῆς ἐνότητος ταύτης παρατηρεῖται χαρακτηριστικὸν στρώμα πηλοῦ (2a) πάχους περίπου 3 μέτρων (σχ. 3).

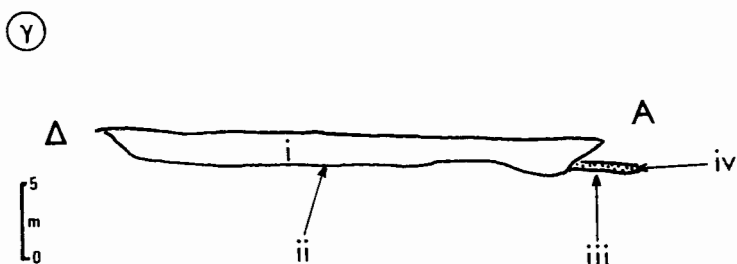
Εἰς τὴν ἐν λόγῳ ἐνότητα τὰ κροκαλοπαγῆ στρώματα, πάχους 50 ἔκ. μέχρι 3 μέτρων, ἔχουν βάσιν ἐλαφρῶς ἀνώμαλον, ἐνίστε μετ' ἀποτυπωμάτων (loadcasts). Εἰς τὰς τομὰς Γ καὶ Δ τὰ στρώματα τῶν κροκαλοπαγῶν ἀποσφηνοῦνται εἰς

σχῆμα φακοῦ (σχ. 4 καὶ 5), καὶ τὰ ἄκρα των ἐνθυμίζουν παρυφὴν αὐλακούς (channel margin). Αἱ ὡς ἀνώ αὐλακες ἐμφανίζουν εὐρος 25 - 100 μ.



Σχ. 4. Σχηματική περιγραφὴ τῆς θέσεως β τῆς τομῆς Γ (σχ. 3).

- i. Ἀκρον αὐλακος (NA προσανατολισμός).
- ii. Ἐστρωμένα κροκαλοπαγῆ, καλῶς ταξιθετημένα καὶ μὲ μικρὸν ποσοστὸν συμμετοχῆς συνδετικοῦ ύλικοῦ.
- iii. Ἀποθέσεις αὐλάκων (ἀμμοῦχοι ἄργιλοι καὶ ταινίαι τινες χαλίκων, μὲ ἀνθρακικὸν συνδετικὸν ύλικόν).



Σχ. 5. Σχηματική περιγραφὴ τῆς θέσεως γ τῆς τομῆς Δ (σχ. 3).

- i. Καλῶς ταξιθετημένα κροκαλοπαγῆ.
- ii. Παρυφὴ αὐλακούς (channel margin). Τὸ εὐρος τῆς αὐλακούς φθάνει σχεδὸν τὰ 95 μέτρα.
- iii. Ἀνόμαλα στρώματα πηλοῦ (πιθανῶς ἴλιορροή).
- iv. Καλῶς ταξιθετημένη λεπτόκοκκος ἄμμος μὲ ἀποτυπώματα ἐπὶ τοῦ ὑποκειμένου πηλοῦ.

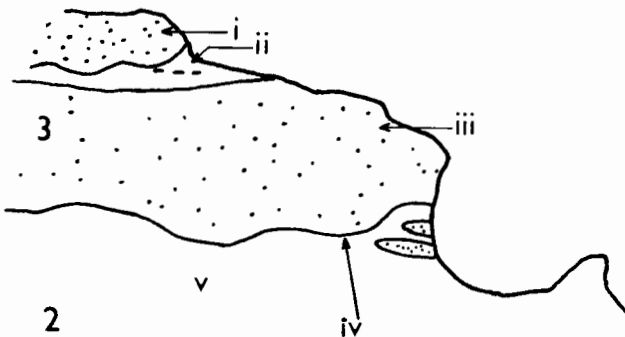
Ἐπειδὴ αἱ τομαὶ Γ, Δ καὶ Ε διατάσσονται ἐγκαρδίως, ὡς πρὸς τὸν προσανατολισμὸν τῶν αὐλάκων, ἐνῷ αἱ τομαὶ Α καὶ Β παραλλήλως, τὰ ἄκρα τῶν αὐλάκων δὲν καθίστανται δρατὰ εἰς τὰς τομὰς Α καὶ Β. Οὕτως, ἐξηγεῖται ἡ ἀπουσία αὐλακώσεων (channeling) εἰς τὰς τομὰς ταύτας (σχ. 2).

Είς θέσεις τινάς τῆς ἐν λόγω ἐνότητος ἐντοπίζονται ἀποθέσεις ψαμμίτου, καλῶς ταξιθετημέναι καὶ μὲ ἀποτυπώματα (loadcasts) ἐπὶ τοῦ ὑποκειμένου πηλοῦ. Γενικῶς ὅμως οἱ ψαμμίται παρουσιάζουν περιωρισμένην ταξιθέτησιν καὶ παρατηρεῖται πλήρης διαδοχὴ μεταξὺ τῶν στρωμάτων τοῦ ὡς ἄνω ψαμμίτου καὶ στρωμάτων ἀμμούχου πηλοῦ.

Εἰς τὴν ἐνότητα ταύτην παρατηροῦνται ἐπίσης, στρώματα μερικῶς ταξιθετημένα, χαλικούχουν καὶ ἀμμούχου πηλοῦ (δνοματολογία κατὰ FOLK, 1968). Εἰς τὰ στρώματα ταῦτα δὲν είναι δυνατὴ ποιά τις ἴστολογικὴ παρατήσης. Εἰς τινας περιπτώσεις μόνον διεπιστώθη ἀνελιγμένη διάστρωσις (contorted bedding).

Στρωματογραφικὴ ἐνότης No. 3.

Ἡ τρίτη αὕτη στρωματογραφικὴ ἐνότης σύγκειται κυρίως ἀπὸ κροκαλοπαγῆ ($\sim 85\%$) μὲ διαστρώσεις ψαμμιτῶν (15%). Τὰ κροκαλοπαγῆ τῆς ἐνότητος ταύτης είναι ὅμοια πρὸς ἐκεῖνα τῆς προηγουμένης ἐνότητος (No. 2) καὶ ἐμφανίζουν ἀνώμαλον βάσιν αὐλάκων (σχ. 6). Τὸ δρατὸν πάχος τῆς ἐν λόγῳ στρωματογραφικῆς ἐνότητος φθάνει τὰ 30 περίπου μέτρα καὶ τὰ στρώματά της παρουσιάζουν κιτρίνην χροιάν.



Σχ. 6. Λεπτομερής σχηματικὴ παράστασις τῆς θέσεως α τῆς τομῆς Β (σχ. 3).
i. Κροκαλοπαγῆ, ii. Ψαμμίτης καὶ πηλός, iii. Κροκαλοπαγῆ, v. Ψαμμίτης καὶ πηλός, iv. "Αχρον αὐλακος.

Γενικῶς, τὰ ἵζήματα τῶν ὡς ἄνω τριῶν στρωματογραφικῶν ἐνοτήτων παρουσιάζουν ἐναλλαγὰς ἀδρομερῶν καὶ λεπτομερῶν στρωμάτων ἀνευ συγκεκριμένης τινος κανονικότητος καὶ είναι προφανῆς ἡ ἀπονοσία διασταυρούμενης διαστρώσεως (cross-bedding).

Τὰ ἐν θέματι ἵζήματα ἐμφανίζουν ἔρυθρὸν ἔως καὶ κιτρίνην χροιάν. Ἡ ἐρυθρὰ χροιά των ὁφείλεται κυρίως εἰς τὴν παρουσίαν αἵματίτου ἡ δὲ κιτρίνη εἰς

τὴν παρουσίαν τοῦ γκαιτίτου. 'Ως γνωστόν, ὁ γκαιτίτης, ὁ ὅποιος ἀποτελεῖ προϊὸν τῆς δξειδώσεως σιδηρομαγνησιούχων δρυκτῶν, μετατρέπεται μὲ τὴν πάροδον τοῦ χρόνου εἰς αίματίτην (WALKER, 1967).

3. ΕΡΓΑΣΤΗΡΙΑΚΑΙ ΜΕΘΟΔΟΙ ΕΡΕΥΝΗΣ

Άνεφέρθη ἡδη ὅτι εἰς τὴν περιοχὴν Ἀφισσοῦ ἐγένετο συστηματικὴ καὶ πλήρης δειγματοληψία. Ὁ ἀριθμὸς τῶν ἐπεξεργασθέντων δειγμάτων πλησιάζει τὰ 50.

Εἰς τὰ δείγματα ταῦτα ἐγένετο «κοκκομετρικὴ ἀνάλυσις», ὑπελογίσθη τὸ ἐπὶ τοῖς % ἀριθμοτικὸν ποσοστὸν CP (cumulative percent) ἐκάστου δείγματος καὶ τοῦτο τελικῶς προβάλλεται ἐν συναρτήσει πρὸς τὴν ἀντίστοιχον διάμετρον κόκκου (d) τοῦ δείγματος (σχ. 7, 8 καὶ 9).

Ἡ προείδησα κατὰ τὴν κοκκομετρικὴν ἀνάλυσιν τῶν δειγμάτων εἶναι ἐν γενικαῖς γραμμαῖς, ἀνάλογος ἐκείνης, ἡ δοίᾳ περιγράφεται εἰς τὸ γνωστὸν σύγγραμμα τοῦ CARVER, (INGRAM 1971, GALEHOUSE 1971).

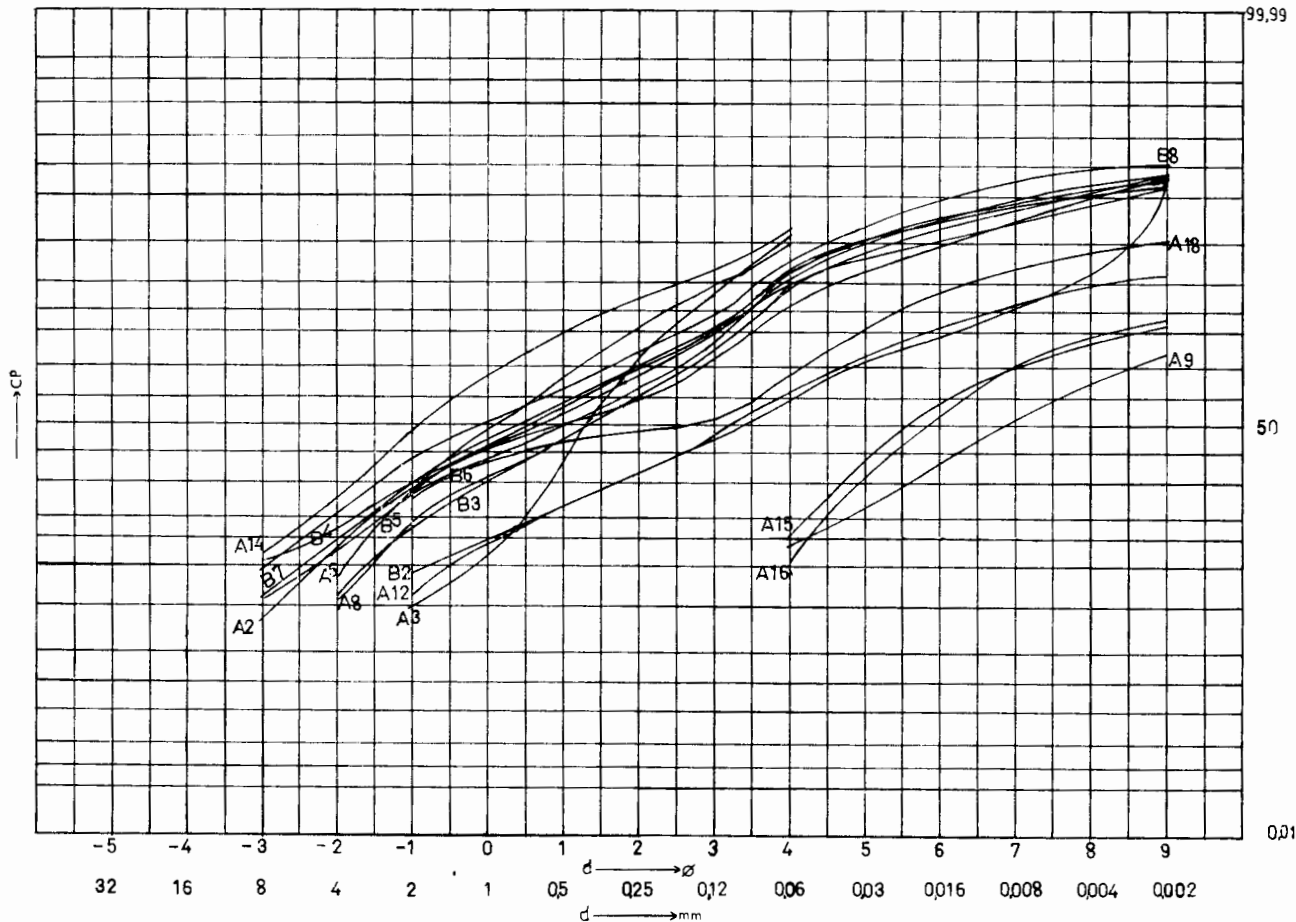
Όταν τὸ πρὸς ἀνάλυσιν δεῖγμα περιεῖχεν κλάσμα ἄνω τῶν 10% ἀργιλικοῦ ὑλικοῦ προηγεῖτο ἡ ἀνάλυσις διὰ πιπέττας καὶ ἐν συνεχείᾳ ἡ διὰ κοσκίνων τοιαύτη, ἐὰν δὲ δλιγόντερον τῶν 10% ἐγένετο πρῶτον ἡ διὰ κοσκίνων καὶ ἐν συνεχείᾳ ἡ διὰ πιπέττας ἀνάλυσις. Εἰς ἀκραίας περιπτώσεις καθ' ἃς τὸ κλᾶσμα τῆς «ἀμμου» ἢ τοῦ «ἀργιλικοῦ ὑλικοῦ» ἥσαν ἀμελητέα παρελείπετο ἡ μία τῶν ὡς ἄνω ἀναλύσεων (ἡ διὰ πιπέττας ἢ κοσκίνων, κατὰ περίπτωσιν).

Πολλὰ ἐκ τῶν δειγμάτων χαρακτηρίζονται ὑπὸ ἐρυθρᾶς χροιᾶς. Ἡ χροιὰ αὕτη δηλοῖ τὴν παρουσίαν δξειδίων τοῦ σιδήρου. Τὰ ὡς ἄνω δξείδια εἶναι δυνατὸν νὰ ἀπετέθησαν ἐξ ἀρχῆς, τὸ πιθανότερον ὅμως εἶναι ὅτι ὁ σχηματισμὸς τούτων εἶναι δευτερογενής.

Τὰ δξείδια ταῦτα, ἐν συνεχείᾳ, ἐπροκάλεσαν τὴν συγκόλησιν τεμαχίων μεγέθους τῆς τάξεως «πηλοῦ» καὶ «ἀργίλου». Ἡ ἐν λόγῳ συγκόλησις εἶχεν ὡς ἀποτέλεσμα τὴν αὐξῆσιν τοῦ ἐπὶ τοῖς % ἀριθμοτικοῦ ποσοστοῦ (CP) τῆς ἀμμου καὶ ἐλάττωσιν τοῦ ὡς ἄνω ποσοτοῦ διὰ κλάσματα «πηλοῦ» καὶ «ἀργίλου» εἰς ἔκαστον δεῖγμα. Πρέπει, ὅθεν, πρὸ ἐκάστης διὰ κοσκίνων ἡ διὰ πιπέττας ἀναλύσεως νὰ γίνῃ ἀπομάκρυνσις τῶν δξειδίων τοῦ σιδήρου τοῦ δείγματος¹.

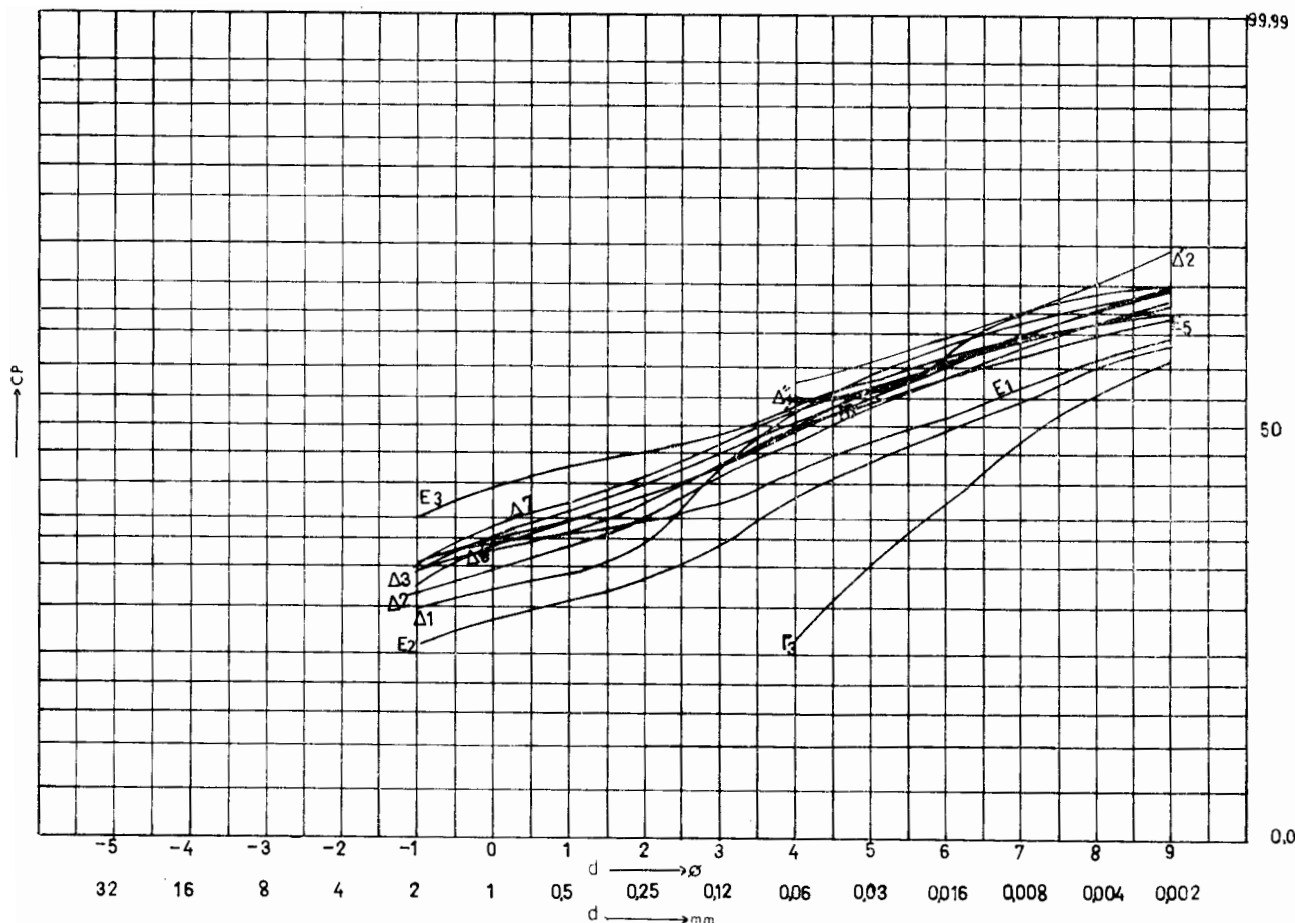
Ἀπομάκρυνσις τῶν δξειδίων τοῦ σιδήρου ἐγένετο εἰς τὸ δεῖγμα Δ₂. Εἰς τὸ σχ. 8 δίδονται δύο καμπύλαι (Δ_2' καὶ Δ_2''). Ἐκ τούτων ἡ Δ_2' ἀντιστοιχεῖ εἰς δεῖγμα ἄνευ ἀπομακρύνσεως τῶν δξειδίων τοῦ σιδήρου, ἐνῷ ἡ Δ_2'' εἰς τὸ αὐτὸ δεῖγμα ἀλλὰ κατόπιν ἀπομακρύνσεως τῶν δξειδίων τοῦ σιδήρου ἐκ τούτου.

1. Ἡ ἐν λόγῳ ἀπομάκρυνσις γίνεται ὡς ἀκολούθως: Εἰς τὸ ὑπὸ ἀνάλυσιν δεῖγμα προστίθενται 100 κ. ἔκ. διαλύματος 0,6M $\text{Na}_8\text{C}_6\text{H}_5\text{O}_7 \cdot 2\text{H}_2\text{O}$ καὶ 25 κ. ἔκ. 1M NaHCO_3 . Τὸ δεῖγμα θερμαίνεται ἕως 85° C καὶ ἐν συνεχείᾳ προστίθενται εἰς τοῦτο 5 γραμ. $\text{Na}_2\text{S}_2\text{O}_4$. Ἀκολουθεῖ συνεχῆς ἀνάδεεσις ἐπὶ 18 λεπτὰ τῆς ὧδας. Ἡ ὡς ἄνω διαδικασία ἐπαναλαμβάνεται ἔως ὅτου ἡ ἐρυθρὰ χροιὰ τοῦ δείγματος ἔξαφανισθῇ πλήρως.

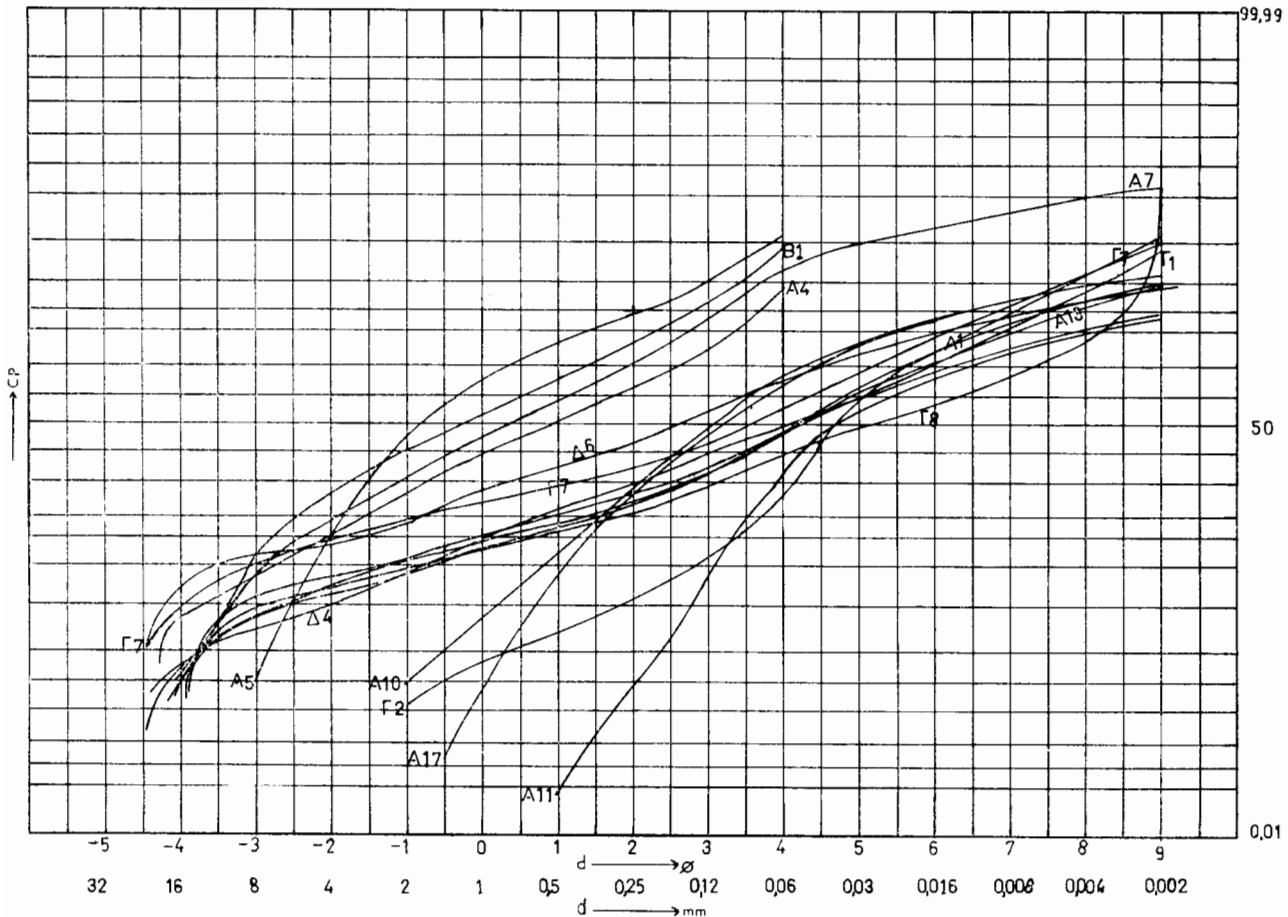


Σχ. 7. Κοκκομετρικαί καμπύλαι τῶν τομῶν Α καὶ Β τοῦ σχήματος 2.

Ψηφιακή Βιβλιοθήκη "Θεόφραστος" - Τμήμα Γεωλογίας. Α.Π.Θ.



Σχ. 8. Κρητιδική βιβλιοθήκη θεόφραστος του Θηγάνα Γεωργίδης. Αριθμός Τεχνών 2.



Σχ. 9. Κοκκομετρικά καμπύλαι τῶν δειγμάτων ἐκ τῶν τομῶν Α, Β, Γ καὶ Δ εἰς ἀ ἐγένετο καὶ προσδιορισμὸς τῆς παραμέτρου Σ.

Έκ τῶν καμπυλῶν τούτων προκύπτει ὅτι πράγματι ἡ ἀπομάκρυνσις ἐκ τοῦ δείγματος, τῶν δὲ εἰδίων τοῦ σιδήρου, εἶχεν ὡς ἀποτέλεσμα τὴν αὔξησιν τοῦ ποσοστοῦ «πηλοῦ» καὶ «ἀργύρου» ἐν σχέσει πρὸς τὸ τῆς «ἄμμου». Ἐπειδὴ ὅμως αἱ ἐν λόγῳ διαφοραὶ, ὡς ἐμφαίνεται εἰς τὸ σχῆμα 8, δὲν εἶναι σημαντικαί, διὰ τὸν λόγον τοῦτον δὲν ἐγένετο ἀπομάκρυνσις τῶν δὲ εἰδίων τοῦ σιδήρου ἐκ τῶν ὑπολοίπων δειγμάτων, καθ' ὅσον τὰ συμπεράσματα μας δὲν ἐπηρεάζοντο αἰσθητῶς. Ἀπομάκρυνσις τῶν δὲ εἰδίων τοῦ σιδήρου ἐγένετο βεβαίως εἰς ὅλα τὰ δείγματα ἐκ τῆς τομῆς E, διότι ἄλλως δὲν θὰ ἦτο δυνατὴ ἡ κοκκομέτρησις τούτων. Τὰ δείγματα ταῦτα εἶναι σχεδὸν τελείως συμπαγῆ λόγῳ διαγενέσεως. Εἰς τὴν ὡς ἄνω διαγένεσιν ὁ ρόλος τῶν δὲ εἰδίων τοῦ σιδήρου εἶναι σημαντικός.

Διὰ τὸν διαχωρισμὸν τῶν βαρέων ὀρυκτῶν ἀπὸ τὰ ἔλαφρὰ τοιαῦτα ἔχουν χρησιμοποιηθῆ τὰ κλάσματα 3 καὶ 3,5 Ø. Τὰ ἐν λόγῳ κλάσματα ἐπροτιμήθησαν διότι κόκκοι διαμέτρου μικροτέρας τῶν 4 Ø παρουσιάζουν δυσκολίας ἀναγνωρίσεως ὑπὸ τὸ μικροσκόπιον λόγῳ τοῦ μικροῦ μεγέθους των, ἐνῷ κόκκοι διαμέτρου μεγαλυτέρας τῶν 2 - 2,5 Ø παρουσιάζουν δυσκολίας ἀναγνωρίσεως λόγῳ τοῦ μεγάλου πάχους των. Ο διαχωρισμὸς ἐγένετο τῇ βοηθείᾳ μείγματος τετραβρωμοιαθανίου καὶ τετραχλωράνθρακος (χρησιμοποιηθεῖσαι ἀναλογίαι 87,5 καὶ 12,5 κ.ἐκ. ἀντιστοίχως). Τὸ μεῖγμα τοῦτο ἔχει εἰδικὸν βάρος 2,81 gr/cm³. Ως ὑλικὸν ἐγκλίσεως ἔχρησιμοποιήθη τὸ Permount.

4. ΟΙ ΚΥΡΙΟΙ ΣΧΗΜΑΤΙΣΜΟΙ ΤΗΣ ΠΕΡΙΟΧΗΣ

4. 1. Τὰ κροκαλοπαγῆ τῶν αὐλάκων (**channellised conglomerates**).

Τὰ ἵζήματα ταῦτα εἶναι καλῶς ταξιθετημένα καὶ ἀναπτύσσονται κατὰ ἐντυπωσιακὸν τρόπον.

Ἡ κοκκομετρική των ἀνάλυσις ἀποδεικνύει ὅτι ἡ ἀπόθεσις τῶν ὡς ἄνω κροκαλοπαγῶν δφείλεται εἰς ἴσχυρά κατὰ τὸ μᾶλλον ἢ ἡτον φεύματα ὕδατος αὐλάκων. Κατὰ πᾶσαν πιθανότητα, ἀνάλογος πρέπει νὰ εἶναι καὶ ὁ τρόπος ἀποθέσεως τῶν καλῶς ταξιθετημένων λεπτοκόκκων ἄμμων (ψαμμιτῶν).

Εἰς τὴν βάσιν τῶν ὡς ἄνω στρωμάτων παρετηρήθησαν ἀποτυπώματα γεγονὸς τὸ δόποιον μαρτυρεῖ ταχεῖαν ἀπόθεσίν των, καὶ μάλιστα ἐπὶ ὑποκειμένων διαβρόχων πηλῶν.

4. 2. Οι χαλικώδεις καὶ ἀμμοῦχοι πηλοί.

Τὰ ὡς ἄνω ἵζήματα δὲν ἐμφανίζουν καλὴν ταξιθέτησιν τοῦ ὑλικοῦ των καὶ ἐπομένως ὁ τρόπος τῆς ἀποθέσεώς των εἶναι σαφῶς διάφορος ἐκείνου τῶν ταξιθετημένων κροκαλοπαγῶν. Ἡ διερεύνησις τοῦ τρόπου τῆς ἀποθέσεώς των ἐγένετο διὰ τῆς κοκκομετρικῆς ἀναλύσεώς των.

4. 3. Τὰ ἀσβεστολιθικὰ ἔκχριματα.

Στρώματα ίσχυρῶς ἀνώμαλα, μὲ ἀσβεστολιθικὸν συνδετικὸν ὑλικὸν (*caliche*) θεωροῦνται σήμερον ὅτι ἀποτελοῦν διακριτικὸν γνώρισμα σχηματισμῶν ἡμι-ξηρᾶς περιοχῆς (GLINKA, 1914 - PRICE 1925, 1933 - WOOLNOUGH, 1928, 1930 - MILLER, 1937 - DUTOIT, 1939 - RUTTE, 1958 - WELTE, 1962 - REEVES and SUGGS, 1964 - REEVES, 1968). Τοιοῦτοι σχηματισμοὶ ἐνετοπίσθησαν καὶ εἰς Δράτην.

Οἱ ἀσβεστολιθικοὶ ἔκχριματοι σχηματισμοὶ ἀλλοτε σύγκεινται ἀπὸ λεπτομερές ὑλικὸν καὶ ἀλλοτε πάλιν ἀπὸ ἀδρομερές (π. χ. ἐκ αρκαλοπαγῶν).

Εἰς τὴν θέσιν Πλατάνια, καὶ ἐντὸς τῶν ἀσβεστολιθικῶν ἔκχριμάτων, ἐνετοπίσθησαν ἀποτυπώματα φιλόν. Τὸ εὑρημα τοῦτο σημαίνει ὅτι οἱ ἔκχριματοι οὗτοι σχηματισμοὶ συνιστοῦν παλαιὸν ἔδαφος. Τὰ ὡς ἄνω ἀνθρακικὰ ἔκχριματα διφείλουν τὴν γένεσίν των εἰς φεύγατα διαρρεύσαντα τὴν περιοχήν. Ἡ παρουσία ἀσβεστολιθικῶν χαζίκων ἀποτελεῖ ἐπιβεβαίωσιν τοῦ ἰσχυρισμοῦ τούτου. Ὁ πηλὸς συγκρατεῖ εὐκόλως τὸ πλούσιον εἰς CO₂ ὕδωρ τὸ δοποῖον καὶ ἀποθέτει, ἐν συνεχείᾳ, τὸ ἀσβεστιτικὸν ὑλικὸν καὶ σχηματίζει τὰ ἔκχριματα.

5. ΑΞΙΟΠΟΙΗΣΙΣ ΤΩΝ ΑΝΑΛΥΤΙΚΩΝ ΔΕΔΟΜΕΝΩΝ

‘Ο χαρακτηρισμὸς τοῦ περιβάλλοντος ἵζηματογενέσεως ἐγένετο δι’ ἐπεξεργασίας τῶν δεδομένων τῆς κοκκομετρικῆς ἀναλύσεως. ‘Ο ως ἄνω τρόπος ἐργασίας εἶναι λίαν συνήθης καὶ ἀναφέρεται ἐκτενῶς εἰς τὴν διεθνῆ βιβλιογραφίαν. ‘Αναφέρομεν ἐνδεικτικῶς τὰς ἐργασίας τῶν PASSEGA (1957, 1964), MASON and FOLK (1958), SAHN 1964 and FRIEDMAN (1961, 1967), καὶ ἄλλων.

Οἱ BULLER καὶ McMANUS (1972, 1973a, 1973b καὶ 1974) εἰς σειρὰν ἐργασιῶν τῶν ἀποδεικνύουν τὴν δυνατότητα ἀναγνωρίσεως παλαιῶν περιβαλλόντων ἵζηματογενέσεως διὰ τῆς χρήσεως ἵζηματοαναλυτικῶν δεδομένων. Τοῦτο γίνεται κυρίως διὰ τοῦ ὑπολογισμοῦ καὶ τῆς σχετικῆς προβολῆς τῶν παραμέτρων «μέσον μέγεθος» (Median-Md) καὶ ποσοστιαῖον σημεῖον (quartile deviation). Τὸ ποσοστιαῖον σημεῖον (QD) δίδεται ἐκ τοῦ τύπου

$$QD = \frac{P_{75} - P_{25}}{2}$$

ἔνθα τὸ P₇₅ ἔκφρασίζει τὸ μέγεθος τῶν κόκκων τοῦ ἐπὶ τοῖς 75 % κλάσματος καὶ P₂₅ τὸ ἐπὶ τοῖς 25 %, εἰς π.π.

Διὰ τῶν ὡς ἄνω δύο παραμέτρων καθορίζονται γραφικῶς διάφορα «πεδία» (envelopes). Τὰ πεδία ταῦτα εἶναι τὸ τῶν ἀποθέσεων ποταμῶν, τουρμπιντιτῶν, παγετώνων, ἀκτῶν, ἀβαθῶν θαλασσῶν ὡς καὶ τῶν αἰολικῶν ἀποθέσεων. Αἱ δύο ὡς ἄνω παράμετροι, μέσον μέγεθος καὶ ποσοστιαῖον σημεῖον, ὑπελογίσθησαν ἐκ τῶν καμπυλῶν τῶν σχημάτων 7, 8 καὶ 9 καὶ δίδονται εἰς τὸν πίνακα 1. Εἰς τὰς

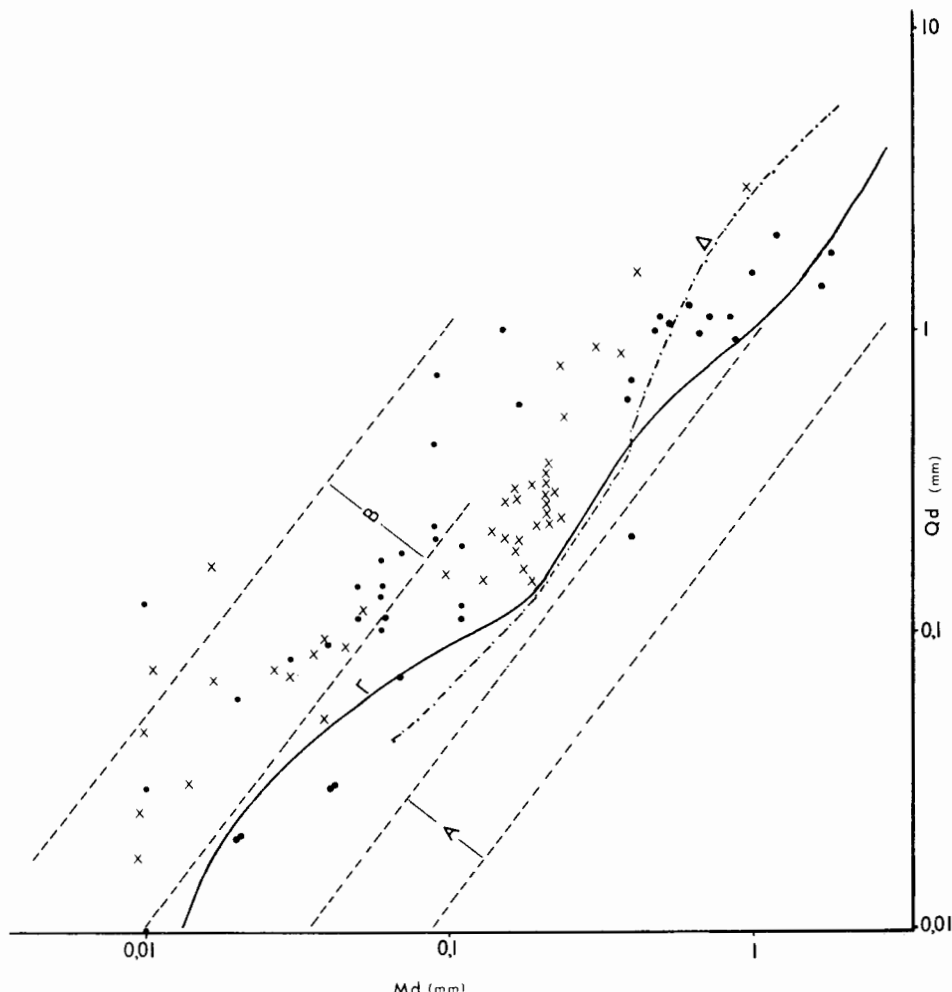
περιπτώσεις κατά τὰς δύοις τὰ δεδομένα τῶν καμπυλῶν δὲν ἐπαρκοῦσαν διὰ τὸν προσδιορισμὸν τῶν ποσοστιαίων σημείων, ἐγένετο προέκτασις τῶν δύο πρώτων σημείων.

Π Ι Ν Α Ζ 1.

Μέσον μέγεθος καὶ ποσοστιαῖον σημείου.

a/a δείγματος	Md (mm)	QD (mm)	a/a δείγματος	Md (mm)	QD (mm)
A ₁	0,06	0,10	Γ ₁	0,05	0,11
A ₂	0,50	1,09	Γ ₂	0,04	0,03
A ₃	0,40	0,20	Γ ₃	0,01	0,01
A ₄	0,54	1,03	Γ ₆	0,06	0,13
A ₅	1,68	1,33	Γ ₇	0,09	0,41
A ₆	0,90	0,91	Γ ₈	0,03	0,08
A ₇	0,84	1,08			
A ₈	0,39	0,67	Δ ₁	0,07	0,07
A ₉	0,01	0,12	Δ ₂	0,04	0,09
A ₁₀	0,11	0,12	Δ ₃	0,07	0,18
A ₁₁	0,04	0,03	Δ ₄	0,06	0,17
A ₁₂	0,11	0,19	Δ ₆	0,17	0,58
A ₁₃	0,05	0,14	Δ ₇	0,09	0,22
A ₁₄	1,83	1,75	Δ ₈	0,06	0,14
A ₁₅	0,02	0,02			
A ₁₆	0,02	0,02	E ₁	0,02	0,06
A ₁₇	0,11	0,11	E ₂	0,01	0,03
A ₁₈	0,15	0,98	E ₃	0,09	0,70
			E ₅	0,06	0,11
B ₁	1,19	2,03			
B ₂	0,09	0,20			
B ₃	0,39	0,58			
B ₄	0,62	1,19			
B ₅	0,68	0,96			
B ₆	0,48	0,98			
B ₇	0,73	1,10			
B ₈	1,02	1,52			

Έν συνεχείᾳ, έγένετο προβολὴ τῶν μεγεθῶν τῶν μελετηθέντων ἵζημάτων εἰς τὸ διάγραμμα τοῦ σχήματος 10, εἰς τὸ ὅποιον ἔχουν χαραχθῆ τὰ «πεδία τῶν ποταμίων ἀποθέσεων καὶ τῶν παγετώνων τῶν BULLER McMANUS». ‘Ως ἐμφαίνεται εἰς τὸ σχῆμα 10, τὰ δείγματα τῆς Ἀφισσοῦ προβάλλονται σχεδὸν ὅλα εἰς τὸ ἀριστερὸν τοῦ «πεδίου» τῶν ποταμίων ἀποθέσεων. Επομένως, ἀποκλείεται ἡ περίπτωσις, τὰ ἐν λόγῳ ἵζηματα νὰ είναι γνήσιοι ποτάμιοι ἀποθέσεις.



Σχ. 10.

- Α : «Πεδίον» ποταμίων ἀποθέσεων (BULLER and McMANUS, 1974).
- Β : «Πεδίον» ἀποθέσεων παγετώνων („ „ „ „).
- Γ : “Οριον ἀποθέσεων Ἰνιορροής.
- Δ : “Οριον ἀποθέσεων αὐλάκων.
- × : Δείγματα ἀλλούβιακῶν φιπιδίων (BULL, 1964).
- : Δείγματα παρούσης ἐργασίας.

Ό ΒULL (1964) δίδει άρκετάς κοκκομετρικάς άναλύσεις δι' άλλους βιακά ριπίδια της έπαρχιας Fresno της Καλιφόρνιας. Τὰ δεδομένα ταῦτα προβάλλονται ἐπίσης εἰς τὸ διάγραμμα τοῦ σχήματος 10. Πάντα τὰ δείγματα προβάλλονται εἰς τὸ ἀριστερὸν τοῦ «πεδίου τῶν ποταμίων ἀποθέσεων τῶν BULLER καὶ McMANUS» ἡτοι ἐκεῖ ὅπου προβάλλονται τὰ δείγματα τῆς Ἀφισσοῦ.

Ο PASSEGA (1964) εἰσήγαγε διὰ πρώτην φορὰν μίαν νέαν παραμέτρου, τὴν δποίαν χαρακτηρίζει ὡς C, εἰς τὴν ἐπεξεργασίαν κοκκομετρικῶν δεδομένων. Η παραμέτρος αὕτη ἐκφράζει τὴν μεγίστην κατὰ προσέγγισιν διάμετρον κόκκων (τὰ 99% τῶν κόκκων τοῦ δείγματος ἔχουν μικροτέραν διάμετρον).

Ο BULL (1972) διὰ τῆς χρήσεως τῆς παραμέτρου ταῦτης καὶ τοῦ μέσου μεγέθους καθορίζει ἐπιτυχῶς «πεδία» διὰ τὰ διάφορα εἴδη ἀποθέσεων τῶν ἀλλούς βιακῶν ριπίδιων ἡτοι ἀποθέσεις διακλαδιζομένων ρευμάτων (braided stream) ἢ καλυμμάτων (sheet flood), ἀποθέσεις αὐλάκων (stream channel) καὶ ἀποθέσεις ἥνυορροῆς (mudflow).

Διὰ τὸν ὑπολογισμὸν τῆς παραμέτρου C ἀπαιτεῖται ὅπως καταβληθῇ ἐπιμελημένη προσπάθεια πρὸς ἀποφυγὴν σφαλμάτων λόγῳ κακῆς δειγματοληψίας.

Ἐκ τῶν καμπυλῶν τοῦ σχήματος 9 ὑπελογίσθη ἡ παραμέτρος C (πίναξ 2) διὰ χαρακτηριστικὰ δείγματα τῶν τομῶν A, B, Γ καὶ Δ τῆς Ἀφισσοῦ.

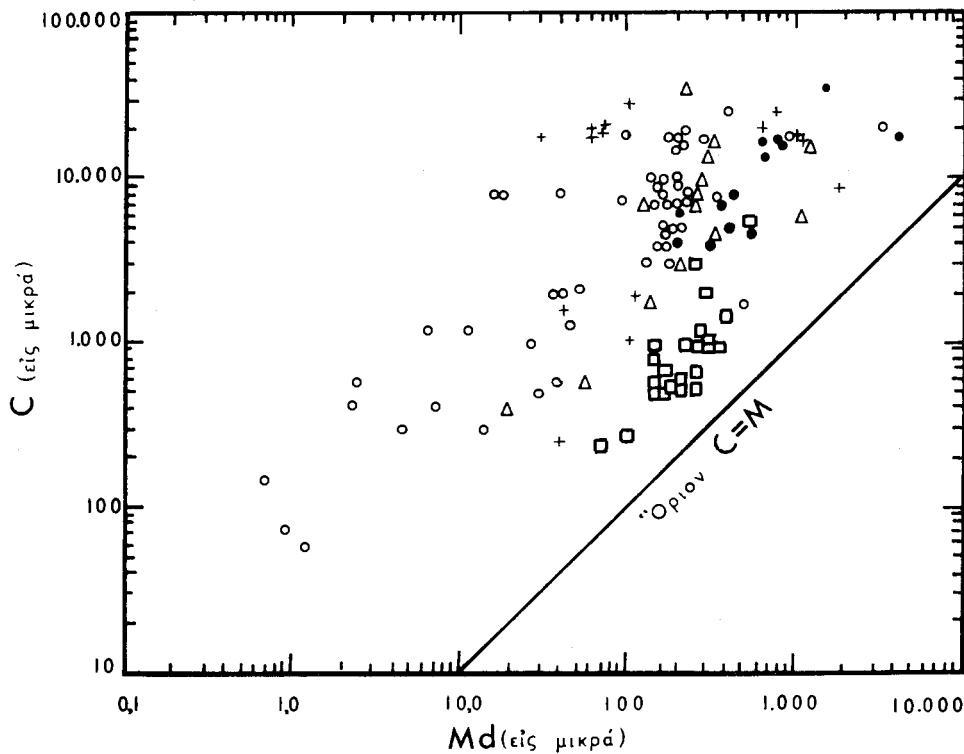
Π Ι Ν Α Ξ 2.

Τιμαὶ τῆς παραμέτρου C.

Δείγμα	C (mm)	Δείγμα	C (mm)
A ₁	15,14	B ₁	16,00
A ₄	19,70	Γ ₁	18,13
A ₅	8,00	Γ ₇	24,25
A ₇	17,15	Γ ₈	16,00
A ₁₀	1,91	Δ ₄	18,13
A ₁₁	0,24	Δ ₆	22,63
A ₁₃	14,93		
A ₁₇	0,93		

Τὰ δείγματα ταῦτα προβάλλονται εἰς τὸ σχῆμα 11 εἰς ὅ ἐμφαίνονται ἐπίσης καὶ τὰ «πεδία» τοῦ BULL. Ἐκ τοῦ ἐν λόγῳ σχήματος προκύπτει, ὅτι πολλὰ ἐκ τῶν μελετηθέντων δειγμάτων ἀνήκουν εἰς τὴν κατηγορίαν τῶν ἀποθέσεων ἥνυορροῆς καὶ ἀρκετὰ προβάλλονται εἰς τὸν κοινὸν χῶρον τῶν πεδίων ἀποθέσεων καλυμμάτων ἢ διακλαδιζομένων ρευμάτων καὶ ἀποθέσεων αὐλάκων.

"Ότι αἱ ἀποθέσεις τῆς Ἀφισσοῦ τείνουν νὰ ἀνήκουν μᾶλλον εἰς τὴν κατηγορίαν τῶν ἀποθέσεων ἵλυορροῆς προκύπτει καὶ ἐκ τῆς συγχρίσεως τῶν ἀθροιστικῶν καμπυλῶν (σχ. 7, 8 καὶ 9) τῆς Ἀφισσοῦ πρὸς τὰς ἀθροιστικὰς καμπύλας τῆς Fresno (BULL, 1964). Ἐκ τῶν τριῶν διμάδων (A, B καὶ C) τῶν καμπυλῶν



Σχ. 11.

- : Ἀποθέσεις ἵλυορροῆς (BULL, 1972).
- : Ἀποθέσεις βαθέων αὐλάκων (BULL, 1972).
- : Ἀποθέσεις δικτύου ἀβαθῶν, ταχέως κινούμενων αὐλάκων (BULL, 1972).
- Δ : Ἀποθέσεις ἐνδιάμεσοι μεταξὺ ἀποθέσεων ἵλυορροῆς καὶ ἀποθέσεων ὕδατος (BULL, 1972).
- + : Ἀποθέσεις Ἀφισσοῦ (παροῦσα ἐργασία).

τοῦ BULL, ἡ ὁμὰς ἡ ἀντιστοιχοῦσα πρὸς τὰς ἀποθέσεις ἵλυορροῆς τῶν ἄλλους βιακῶν οιπιδίων τῆς Fresno διμοιάζει περισσότερον πρὸς τὰς ἀθροιστικὰς καμπύλας τῶν ἵζημάτων τῆς Ἀφισσοῦ.

‘Ο πίναξ 3 δίδει τὰς παραμέτρους «ταξιθέτησις κατὰ Trask» (Sorting, So) καὶ «συστηματικὴ ἀπόκλισις» (standard deviation, σφ), διὰ τὰ διάφορα εἰδή «ἀποθέσεων ἀλλούσιακῶν φιπιδίων» τῆς Diablo Range τῆς Καλιφορνίας (BULL, 1972). Εἰς τὸν αὐτὸν πίνακα δίδονται τὰ αὐτὰ μεγέθη διὰ τὰς ἀποθέσεις τῆς ’Αφισσοῦ, ὑπολογισθέντα ἐκ τῶν ἀθροιστικῶν καμπυλῶν τῶν σχημάτων 7, 8 καὶ 9. ‘Ἐκ τῆς συγκρίσεως προκύπτει καὶ πάλιν ὅτι αἱ τιμαὶ τῶν παραμέτρων So καὶ σφ διὰ τὰς ἀποθέσεις τοῦ ἀλλούσιακοῦ φιπιδίου τῆς ’Αφισσοῦ πλησιάζουν αἰσθητῶς τὰς ἀντιστοίχους τοιαύτας τῶν ἀποθέσεων τῆς Diablo Range τῆς Καλιφορνίας.

Κατὰ τὴν σύγκρισιν τῆς ταξιθέτησεως τῶν ἀποθέσεων τῆς Καλιφορνίας καὶ τῆς ’Αφισσοῦ (αἱ ὅποιαι ἐπὶ τῇ βάσει τῶν ἄλλων κριτηρίων θεωροῦνται ὡς ἀνήκουσαι εἰς τὴν αὐτὴν κατηγορίαν) ἀναμένονται διαφοραὶ καθότι τὰ μητρικὰ πετρώματα τὰ δύοια ἔδωσαν τὸ ὑλικὸν τῶν ἀποθέσεων τῆς Καλιφορνίας καὶ τὸ ὑλικὸν τῶν ἀποθέσεων τῆς ’Αφισσοῦ εἶναι διάφορα πετρολογικῶς, γεγονὸς τὸ δύοιν ἐπηρεάζει ἐν συνεχείᾳ τὸν βαθμὸν ταξιθέτησεως.

6. ΔΙΕΥΘΥΝΣΙΣ ΜΕΤΑΦΟΡΑΣ ΤΩΝ ΙΖΗΜΑΤΩΝ

Αἱ ἐν ὑπαίθρῳ παρατηρήσεις ἐνισχύουν τὴν ἀποψιν ὅτι αἱ αὐλάκες ἐντὸς τῶν δύοιων ἐγένετο ἡ ἀπόθεσις παρουσιάζουν κατὰ προσέγγισιν ΒΔ πρὸς ΝΑ προσανατολισμόν.

Διὰ τῶν ἐν λόγῳ αὐλάκων κατὰ συνέπειαν εἶναι δυνατὸν νὰ ἔχουν μεταφερθῆ ἵζηματα ἀπὸ Νότου πρὸς Βορρᾶν ἢ ἀντιθέτως. Πρὸς περαιτέρω διευκρίνισιν τῆς διευθύνσεως μεταφορᾶς τῶν ἀποτελέντων ἵζημάτων ἐχοησιμοποιήθη ἡ μέθοδος μετρήσεως τῆς κλίσεως χαλίκων κεραμωτῆς ταξιθέτησεως (pebble imbrication) εἰς ἀποθέσεις Β - Ν διευθύνσεως.

Εἰς ἀποθέσεις αὐλάκων, οἱ χάλικες συνήθως κλίνουν 10 - 30° ἀντίθετα πρὸς τὴν διεύθυνσιν τῆς φοῆς (upcurrent) (POTTER and PETIJOHN 1963). ‘Ο τύπος οὗτος κλίσεως τῶν χαλίκων εἶναι καὶ ὁ πλέον συνήθης εἰς ἀποθέσεις ἥλιοφροῆς (LINDSAY, 1968). ’Αντιθέτως, εἰς ἀποθέσεις φραγμῶν (bar deposits) ἀναστομουμένων φευμάτων (braided streams) παρατηροῦνται περισσότερον ἀκανόνιστοι προσανατολισμοὶ χαλίκων (WILLIAMS and RUST, 1969).

‘Η κλίσις τῶν χαλίκων ἐμελετήθη εἰς τρεῖς θέσεις (α, β, γ τοῦ σχ. 2) καὶ τὰ ἀντίστοιχα «φοδογράμματα» δίδονται εἰς τὸ σχ. 12.

7. ΠΕΡΙΒΑΛΛΟΝΤΑ ΙΖΗΜΑΤΟΓΕΝΕΣΕΩΣ

α) Στρωματογραφικὴ ἐνότης No. 2.

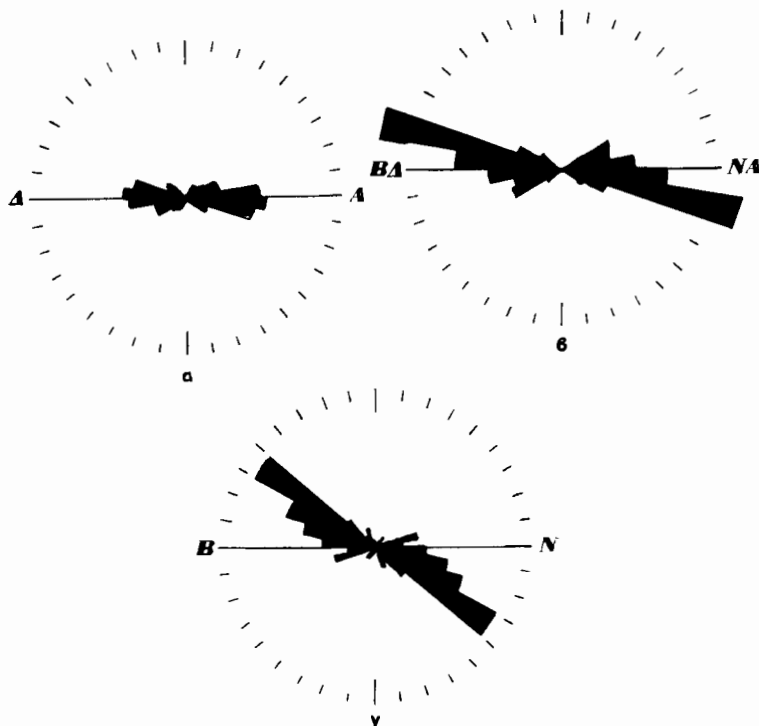
‘Επειδὴ ἡ στρωματογραφικὴ ἐνότης No. 2 εἶναι ἡ πλέον πολύπλοκος ἀπὸ προψεως συγκροτήσεως φέρεται πρώτη εἰς συζήτησιν.

«Ταξιθέτησις κατά Trask» και «Συστηματική Απόκλισις».

Δείγμα	So (mm)	$\sigma\varphi$ (φ)	Δείγμα	So (mm)	$\sigma\varphi$ (φ)		So (mm)	$\sigma\varphi$ (φ)	
A ₁	3,73	3,26	B ₆	3,89	2,54				
A ₂	4,60	2,81	B ₇	3,61	2,55				
A ₃	1,65	1,18	B ₈	3,72	2,66				
A ₄	4,11	2,78							
A ₅	2,45	2,04	Γ ₁	4,45	3,43				
A ₆	2,52	1,93	Γ ₂	2,11	1,75				
A ₇	3,36	2,37	Γ ₃	2,99	2,54				
A ₈	3,42	2,36	Γ ₆	4,94	3,67				
A ₉	3,84	3,18	Γ ₇	6,39	4,15	Διακύμανσις	1,1 - 2,7	0,48 - 2,4	'Αποθέσεις διακλαδιζομένων φευμάτων ή καλυμάτων (BULL, 1972).
A ₁₀	2,74	2,47	Γ ₈	6,09	3,75	Μέσος όρος	1,5	1,0	
A ₁₁	3,31	2,85							
A ₁₂	3,86	3,11							
A ₁₃	4,97	3,75	Δ ₁	3,00	2,56	Διακύμανσις	1,3 - 4,8	0,82 - 3,4	'Αποθέσεις αύλάκων (BULL, 1972).
A ₁₄	2,52	2,06	Δ ₂	4,70	3,36	Μέσος όρος	2,1	2,0	
A ₁₅	3,03	2,93	Δ ₃	5,62	3,84				
A ₁₆	2,67	2,40	Δ ₄	6,38	4,27	Διακύμανσις	5,0 - 25	4,1 - 6,2	'Αποθέσεις λυορροϊκής (BULL, 1972).
A ₁₇	2,81	2,40	Δ ₆	6,56	4,12	Μέσος όρος	9,7	4,7	
A ₁₈	6,84	3,57	Δ ₇	6,61	4,27				
			Δ ₈	5,23	3,90				
B ₁	3,89	2,71							
B ₂	4,33	3,28	E ₁	6,04	4,45				
B ₃	3,23	2,34	E ₂	4,90	3,39				
B ₄	4,00	2,72	E ₃	10,20	4,98				
B ₅	3,51	2,50	E ₅	5,86	4,05				

Τὰ ἵζηματα τῆς ἑνότητος ταύτης, ὅσον ἀφορᾷ εἰς τὸ περιβάλλον ἵζηματο-γενέσεώς των, παροισιάζουν τὰ ἔξης χαρακτηριστικά :

- i. 'Υπαέριον περιβάλλον ἵζηματογενέσεως.
- ii. Διαλειπούσας αὐλακας ροῆς μεγάλης ἴσχυος.
- iii. Παρουσίαν ἀποθέσεων ἐνυδροῆς.
- iv. 'Ανάπτυξιν ἐδάφους ὑπὸ ἡμι-ξηρᾶς συνθήκας.



Σχ. 12. Ροδυγράμματα τῶν θέσεων α, β, γ τοῦ σχ. 2. (Αἱ ὄριζόντιαι γραμμαὶ δεικνύουν τὸ ἐπίπεδον διαστρώσεως).

Περιβάλλον ἵζηματογενέσεως μὲ δλα τὰ ἀνωτέρῳ χαρακτηριστικὰ εἶναι τὸ τῶν ἀλλούβιακῶν φιπίδιων.

'Ο δρος «ἀλλούβιακὰ φιπίδια» ἀναφέρεται εἰς χερσαίας ἵζηματογενεῖς ἀποθέσεις μορφῆς φιπίδιου αἱ δποῖαι σχηματίζονται εἰς περιοχὰς εἰδικοῦ ἀναγλύφου. Διὰ τὸν σχηματισμὸν τῶν ἀποθέσεων τούτων προϋποτίθεται ἡ παρουσία κοιλάδος ἥ δποίᾳ καταλήγει εἰς εὐρείαν πεδιάδα.

'Αποθέσεις τῆς μορφῆς αὐτῆς ἔχουν διατηρηθῆ εἰς πολλὰς περιοχὰς τοῦ κόσμου, κυρίως ξηρᾶς, χωρὶς ὅμως νὰ ἀποκλείεται καὶ ἡ παρουσία τούτων εἰς οὐρανὸν περιοχὰς ὡς ἡ Ἰαπωνία (MURATA, 1966), τὰ Ἰμαλάϊα (DREW, 1873),

δ Καναδάς (WINDER, 1965), καὶ αἱ ἀρκτικαὶ περιοχαὶ τῆς Σκανδινανίας (HOPPE and EKMAN, 1964), καὶ τοῦ Καναδᾶ (LEGGET κ. ἄ. 1966).

Χαρακτηριστικὰ γνωρίσματα τῶν ἀποθέσεων τῶν «ἄλλουβιακῶν ριπιδίων» εἶναι τὰ κάτωθι :

1. Εἶναι δξειδωμέναι ἀποθέσεις. Ο MEADE (1967) ἀναφέρει ὅτι ἡ χροιὰ ἡ ἀποδεικνύουσα τὸν δξειδωτικὸν χαρακτῆρα τῶν ἀποθέσεων τῶν «ἄλλουβιακῶν ριπιδίων» δύναται νὰ διατηρηθῇ καὶ ἐφ' ὅσον αἱ ἐν λόγῳ ἀποθέσεις ἔλθουν εἰς βάθος πλέον τῶν 500 μέτρων κάτωθεν τῆς πιεζομετρικῆς ἐπιφανείας τοῦ ὑπογείου ὑδατος. Αἱ ἀποθέσεις τοῦ εἴδους τούτου σπανιώτατα περιέχουν δρατὸν δργανικὸν ὑλικὸν (MILLER, GREEN and DAVIS, 1971).
2. Χαρακτηρίζονται ἀπὸ τὴν παρουσίαν μορφῶν αἱ ὅποιαι ἔχουν σχηματισθῆ διὰ τῆς πληρώσεως κενῶν, δημιουργηθέντων λόγῳ ροῆς εἰς τὸ ἀρχικὸν ὑπόβαθρον (cut-and-fill structures) καὶ ἀπὸ τὴν παρουσίαν αὐλάκων (channels). Ἡ συχνότης ἐμφανίσεως τῶν ὡς ἄνω σχηματισμῶν φθείνει ἐκ τῆς κορυφῆς πρὸς τὰ ἄκρα.
3. Τὰ ἄλλουβιακὰ ριπίδια, συγκρινόμενα πρὸς ἄλλα περιβάλλοντα ἵζηματογενέσεως παρουσιάζουν σημαντικὰς διαφορὰς εἰς τὴν μεταφορὰν καὶ ἀπόθεσιν, ἀπὸ στρῶμα εἰς στρῶμα μιᾶς καὶ τῆς αὐτῆς ἐμφανίσεως. Τοῦτο ἔχει ὡς ἀποτέλεσμα τὰ στρῶματα μιᾶς ἐμφανίσεως νὰ διαφέρουν μεταξὺ των σημαντικῶν ὡς πρὸς τὸ μέγεθος τεμαχιδίων, ταξιθέτησιν καὶ πάχος.
4. Τὸ μέσον μέγεθος τεμαχιδίων τῶν ἀποθέσεων ἐνὸς ἄλλουβιακοῦ ριπιδίου ἔλαττονται ἐκ τῆς κορυφῆς πρὸς τὰ ἄκρα τούτου.
5. Αἱ ἀποθέσεις τῶν ἄλλουβιακῶν ριπιδίων πολλάκις γειτνιάζουν μὲ καθαρῶς ποταμίας ἢ λιμναίας ἀποθέσεις. Εἰς τοιαύτας περιπτώσεις αἱ σχέσεις αἵτινες ὑφίστανται μεταξὺ τῶν δύο τούτων ὅμαδων ἀποθέσεων (ἄλλουβιακῶν ριπιδίων καὶ ποταμίων ἢ λιμναίων ἀποθέσεων) εἶναι αἱ τῆς ἐπικλύσεως (transgressive ἢ αἱ τῆς διαδακτυλώσεως (intertonguing ἢ interfingering).

Αἱ ἀποθέσεις τῶν ἄλλουβιακῶν ριπιδίων ἀπαντοῦν εἰς δρογενετικὰ περιβάλλοντα διότι αἱ ἀνοδικαὶ κινήσεις δημιουργοῦν δρη τὰ ὅποια συνιστοῦν θέσεις τροφοδοσίας καὶ αὖξάνουν τὴν δυνατότητα μεταφορᾶς τοῦ ὑλικοῦ. Αἱ θέσεις ἀποθέσεως εἰς τὰ ἄλλουβιακὰ ριπίδια εὑρίσκονται εἰς ἀμεσον σχέσιν πρὸς τὴν ταχύτητα καὶ τὸ μέγεθος ἀνυψώσεως τῶν γειτνιαζόντων δρέων (BULL, 1964 b, 1968).

Τὰ ἵζηματα τῆς στρωματογραφικῆς ἔνότητος No. 2, παρὰ τὴν Ἀφισσόν, πρέπει νὰ ἔχουν διανύσει ἀρκετὴν ἀπόστασιν πρὸ τῆς τελικῆς ἀποθέσεώς των. Οἱ χάλικες χαλαζίου εἶναι καλῶς ἐστρογγυλευμένοι, τὰ δὲ κροκαλοπαγῆ, ἀντιπροσωπεύοντα ὑπολεύματα πετρωμάτων τὰ ὅποια δὲν ἔξηφανίσθησαν τελείως διὰ τῆς μεταφορᾶς καὶ ἔξαλλοιώσεως καὶ συνίστανται κυρίως ἀπὸ τεμάχια χαλαζίτου

καὶ σχιστολίθου. Τὰ ἵζηματα ταῦτα περιέχουν ἐπίσης χάλικας κερατολίθου καὶ ἀσβεστολίθου. Ἐπειδὴ αἱ ἐμφανίσεις κερατολίθου καὶ ἀσβεστολίθου ἀπαντῶνται, ὡς γνωστόν, μακρὰν τῆς Ἀφισσοῦ, πάντα ταῦτα ὑποστηρίζουν τὴν ἄποψιν ὅτι τὸ ἀλλουβιακὸν φιλίδιον τῆς Ἀφισσοῦ ἐτροφοδοτεῖτο ἀπὸ ποταμίου σύστημα μεγάλου μήκους καὶ μὲ διαλείπουσαν φοίν. Αἱ ἀποθέσεις ἐνυρορροής, καλυμμάτων καὶ αὐλάκων ἀπετίθεντο ἐντὸς τοῦ τροφοδοτοῦντος ποταμίου συστήματος εἰς περιόδους ὑψηλῆς στάθμης ὕδατος. Τὰ ἀσβεστολιθικὰ ἔκκριματα (παλαιοεδάφη) ἐσχηματίζοντο μεταξὺ ἐπεισοδιακῶν ἀποθέσεων.

β) Στρωματογραφικὴ ἐνότης No. 1.

Τὸ ἀδρομερὲς τῶν ἵζημάτων, οἱ ὁγκώδεις χάλικες καὶ ἡ ἀπουσία χαλίκων μακρυνῶν λιθολογιῶν ἥτοι ἀσβεστολίθων καὶ κερατολίθων ὑποστηρίζουν ἐγγυτάτην προέλευσιν τῶν ἵζημάτων τούτων. Τὸ δλον περιβάλλον ἵζηματογενέσεως τῆς μονάδος ταύτης ἐμφανίζεται ἐπίσης ὡς ἐν ἀλλουβιακὸν φιλίδιον.

γ) Στρωματογραφικὴ ἐνότης N. 3.

Ἡ ἐνότης αὕτη εἶναι δομοία πρὸς τὴν ἐνότητα No. 2. Ἡ μόνη διαφορὰ μεταξὺ τῶν δύο ἐνοτήτων εἶναι ὅτι εἰς τὴν ἐνότητα No. 3 αἱ ἐντὸς τῶν αὐλάκων ἀποθέσεις κροκαλοπαγῶν ἀποτελοῦν τὸν ἐπικρατοῦντα λιθολογικὸν τύπον. Τοῦτο ὑποστηρίζει τὴν ἄποψιν ὅτι ἡ ἀπόθεσις τῶν ἵζημάτων τῆς στρωματογραφικῆς ταύτης ἐνότητος πρέπει νὰ ἔλαβε χώραν ἐντὸς τῆς κυρίας πορείας τοῦ συστήματος τῶν ἀναστομούμένων φευμάτων ἐπὶ τοῦ ἀλλουβιακοῦ φιλίδιου ἢ ἐντὸς ποταμίου κοιλάδος.

8. ΒΑΡΕΑ ΟΡΥΚΤΑ

Ὦς εἶναι γνωστὸν ὃ συνδυασμὸς τῶν βαρέων δρυκτῶν εἰς τὰς ἵζηματογενεῖς ἀποθέσεις δίδει πολλάκις πολυτίμους πληροφορίας δσον ἀφορᾶ εἰς τὸ εἴδος τῶν πετρωμάτων καὶ τῆς πηγῆς τροφοδοσίας τούτων. Ἀν καὶ αἱ μελετηθεῖσαι τομαὶ περιέχουν τεμάχια πετρωμάτων τὰ δποῖα μᾶς πληροφοροῦν διὰ τὸ εἴδος τῶν τροφοδοτησάντων τούτων πετρωμάτων, ἐν τούτοις ἐλήφθησαν καὶ ἀντιπροσωπευτικὰ δείγματα ἐκ τῶν τομῶν A καὶ B καὶ ἐμελετήθησαν τὰ βαρέα δρυκτὰ τὰ ἀπαντῶντα εἰς τὰ κλάματα 3 καὶ 3,5 Ø.

Ὦς ἥδη ἀνεφέρθη, ἐντὸς τῶν μελετηθέντων στρωμάτων ἀνευρέθησαν τεμάχια ἀσβεστολίθων, κερατολίθων, φυλλιτῶν καὶ χαλαζίτου. Ἡ παρουσία τῶν ὡς ἄνω, εὑρίσκεται ἐν συμφωνίᾳ πρὸς τὴν πετρογραφίαν τῶν πέριξ περιοχῶν καὶ ἀποδεικνύουν ὅτι ἀσβεστόλιθοι, κερατόλιθοι, φυλλῖται καὶ χαλαζῖται ἐτροφοδότησαν τὰς ἀποθέσεις ταύτας. Ἡ πετρογραφικὴ μελέτη τοῦ κλάσματος τῆς ἄμμου τῶν δειγμάτων τὰ δποῖα ἐκοκκομετρήθησαν ὡς καὶ ἡ μελέτη τῶν βαρέων δρυκτῶν ὑπεστήριξαν ἐπίσης τὴν ἄποψιν τῆς τροφοδοσίας τῶν μελετηθέντων ἵζημάτων ὑπὸ ἀσβεστολίθων, κερατολίθων, φυλλιτῶν καὶ χαλαζίτων. Εἰς τὰ μελετηθέντα

κλάσματα ἀνευρέθησαν τεμάχη καὶ δύοκτά τῶν προαναφερόμεντων πετρωμάτων. Τὰ ἀνευρεθέντα βαρέα δύοκτὰ εἶναι τὰ ἔξης :

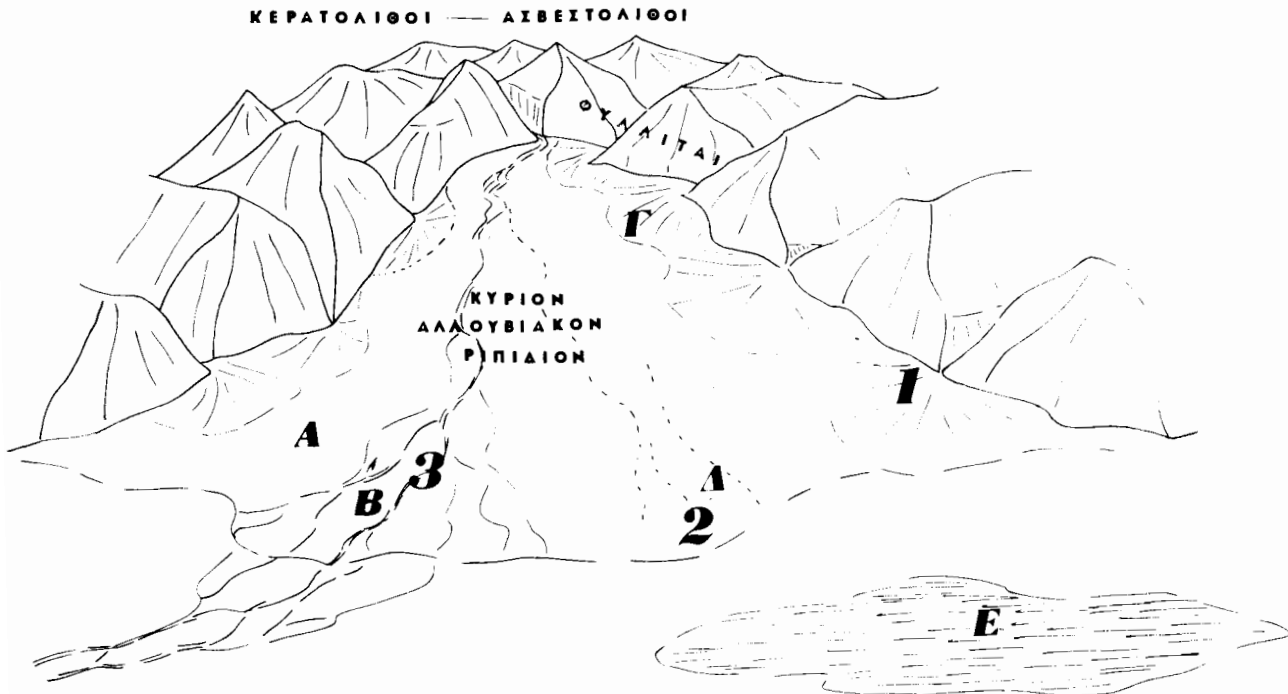
- Ἐντόνως πλεοχρωϊκὴ (μπλὲ ἔως πρασίνη) ἀμφίβολος.
- Σταυρόλιθος (συνήθως εἰς ρουμβικὰς τομὰς) μὲ ἔντονον ἀνισοτροπίαν, ἀσθενῆ πλεοχρωϊσμὸν (πράσινον ἔως πορτοκαλλίσχρον) καὶ ἀδιαφανῆ καὶ διαφανῆ ἐγκλείσματα.
- Ἐντόνως ἐρυθρὸν ρουτίλιον.
- Ἐντόνως πλεοχρωϊκὸς (καστανὸς ἔως μέλας) τουρμαλίνης.
- Ἐπίδοτον.
- Γρανάτης, ἐνίστε μετ' ἐγκλεισμάτων σπινελλίου.
- Ἀνατάσης, συνήθως μὲ παχὺ περίγραμμα σκοτεινοῦ χρώματος.
Ζιρκόνιον.
- Αφθονα ἀδιαφανῆ δύοκτά.

9. ΣΥΜΠΕΡΑΣΜΑΤΑ

Ἡ παροῦσα ἐργασία ἀποσκοπεῖ κυρίως εἰς τὴν διερεύνησιν τοῦ παλαιο-περιβάλλοντος τῶν ἵζηματογενῶν πετρωμάτων τῆς Ἀφισσοῦ. Συγκεκριμένως ἐπεχειρήθη :

1. Ὁ καθορισμὸς τῶν γεωμετρικῶν σχέσεων τῶν διαφόρων πετρολογικῶν τύπων.
2. Ἡ μελέτη καὶ ἐξήγησις τῶν ἵζηματογενῶν δομῶν.
3. Ἡ ἐξήγησις τῶν διαδικασιῶν ἀποθέσεως, τῇ χρήσει κοκκομετρικῶν δεδομένων.
4. Ἡ χρῆσις ἴστολογικῶν δεδομένων διὰ τὴν εὔρεσιν τῆς διευθύνσεως τῶν παλαιορευμάτων.
5. Ἡ χρῆσις τῆς πετρολογίας τῶν ἵζημάτων διὰ παρατηρήσεις παλαιο-περιβάλλοντος.
6. Ἡ ἀναγνώρισις τῶν περιβαλλόντων ἵζηματογενέσεως (π. χ. stream-channel ἀποθέσεις, ἔδαφος κλπ.) καὶ σχέσις τῶν περιβαλλόντων τούτων μὲ ἐν ᾧ περισσότερα γεωγραφικὰ περιβάλλοντα (π. χ. ἀλλουρβιακὸν φιλίδιον, δέλτα κλπ.).

Καταλήγομεν εἰς τὸ συμπέρασμα ὅτι εἰς τὴν περιοχὴν τῆς Ἀφισσοῦ, κατὰ τοὺς Πλειο-πλειεστοκαινικοὺς χρόνους ἔλαβε χώραν ἡ ἀρχικὴ ἀνάπτυξις ἐνὸς τοπικοῦ ἀλλουρβιακοῦ φιλίδιου. Ἐπὶ τῶν ἀποθέσεων τοῦ ἀλλουρβιακοῦ τούτου φιλίδιου ὑπέρερκενται αἱ ἀποθέσεις ἐνὸς μεγαλυτέρου εἰς ἔκτασιν ἀλλουρβιακοῦ φιλίδιου μὲ πλέον ἀπομεμακρυσμένην πηγὴν τροφοδοσίας. Αἱ ἀποθέσεις αὗται μὲ τὴν σειράν τους καλύπτονται ὑπὸ ποταμίων ἀποθέσεων. Αἱ ποτάμιαι αὗται ἀποθέσεις πρέπει νὰ ἔχουν ἀποτελθῆ ἐπὶ τοῦ ἀλλουρβιακοῦ φιλίδιου εἴτε ἐντὸς ποταμίου κοιλάδος (σχ. 13).



Σχ. 13. Δυνατά περιβάλλοντα ίζηματογενέσεως τῶν ίζημάτων τῆς Ἀφισσοῦ. Οἱ ἀριθμοὶ 1, 2 καὶ 3 ἀναφέρονται ἀντιστοίχως εἰς τὰς στρωματογραφικὰς ἐνότητας 1, 2 καὶ 3.

Α : Περιοχὴ κατ' ἔξοχὴν λεπτοκόκκων ίζημάτων καὶ παλαιοεδάφους. Β : Κύριον σύστημα διακλαδιζομένων ρευμάτων. Γ : Ἀλλούβιακὸν ριπίδιον τοπικῆς προελεύσεως. Δ : Αὐλακες αἴτινες ἐπληρούντο μόνον κατὰ τὴν διάρκειαν πλημμυρῶν. Ε : Λίμνη ὥνευ ἀπορετεύσεως εἰς ἡμέρην περιογὴν (Playa lake), (Πλατάνα). Ψηφιακή Βιβλιοθήκη "Θεόφραστος" - Τμῆμα Γεωλογίας Α.Π.Θ.

ΒΙΒΛΙΟΓΡΑΦΙΑ

- BULL, N. B. 1964a.— Alluvial fans and near-surface subsidence in western Fresno County, California. *U.S. Geol. Survey Prof. Paper*, **437-A**, 70 pp.
- 1964b.— Geomorphology of segmented alluvial fans in western Fresno County, California. *U.S. Geol. Survey Prof. Paper*, **352-E**, 89 - 129.
- 1968.— Alluvial fans. *J. Geol. Ed.*, **16**, 101 - 106.
- 1972.— Recognition of alluvial-fan deposits in the stratigraphic record. In J. K. Rigby and Wm. K. Hamblin (Ed.). *Recognition of ancient sedimentary environments*, S.E.P.M. Spec. Publ., **No 16**, 63 - 83.
- BULLER, A. T. and McMANUS, J. 1972.— Simple metric sedimentary statistics used to recognize different environments. *Sedimentology*, **18**, 1 - 21.
- 1973a.— Modes of turbidite deposition deduced from grain size analyses. *Geol. Mag.*, **109**, 491 - 500.
- 1973b.— The quartile deviation/median diameter relationships of glacial deposits. *Sedimentary Geol.*, **10**, 175 - 146.
- 1974.— The application of quartile deviation-median diameter curves to the interpretation of sedimentary rocks. *J. Geol. Soc. Lond.*, **130**, 78 - 83.
- DREW, F. 1873 — Alluvial and lacustrine deposits and glacial records of the upper Indus basin. *Geol. Soc. Lond. Quart. J.*, **29**, 441 - 471.
- FOLK, R. L. 1968.— Petrology of the sedimentary rocks. *Austin, Texas*.
- FREYBERC, B. v. 1944.— Eine unterpliocäne fauna von Elaea (Laconien, Peloponnes). *Ann. Géol. d. Pays Helléniques*, **1**, 120 - 125.
- FRIEDMAN, G. M. 1961.— Distinction between dune, beach, and river sands from their textual characteristics. *J. Sed. Pet.*, **31**, 514 - 529.
- 1967.— Dynamic processes and statistical parameters compared for size frequency distribution of beach and river sands. *J. Sed. Pet.*, **37**, 327 - 354.
- GALEHOUSE, J. S. 1971.— Sedimentation analysis. In R. E. Garver (Ed.), *Procedures in sedimentary petrology*, 69 - 94.
- HOPPE, G. and EKMAN, S. 1964.— A note on the alluvial fans of Ladjtjouagge, Swedish Lapland. *Geographiska Annaler*, **46**, 338 - 342.
- INGRAM, R. L. 1971.— Sieve analysis. In R. E. Carver (Ed.). *Procedures in sedimentary petrology*, 49 - 67.
- LEGGET, R. F. BROWN, R. J. E. and JOHNSON G. H. 1966.— Alluvial-fan formation near Aklavik. Northwest Territories, Canada. *Bull. Geol. Soc. Am.*, **77**, 15 - 30.
- LINDSAY, J. F. 1968.— The development of clast fabric in mudflows. *Jour. Sedim. Petrol.*, **38**, 1242 - 1253.
- ΜΑΡΑΤΟΣ, Γ. 1965.— 'Αργεῖον Β' Δ/νσεως Ι.Γ.Ε.Υ.
- MASON, C. C. and FOLK, R. L. 1958.— Differentiation of beach, dune and aeolian flat environments by size analysis. *J. Sed. Pet.*, **28**, 211 - 226.
- MEADE, R. H. 1967.— Petrology of sediments underlying areas of land subsidence in central California. *U.S. Geol. Survey Prof. Paper*, **497-C**, 83 pp.
- MILLER, R. E. - GREEN, J. H. and DAVIS, G. H. 1971.— Geology of the compacting sediments in the Los Banos - Kettleman City subsidence area, California. *U.S. Geol. Survey Prof. Paper*, **497-E**.

- MURATA, T. 1955.— A theoretical study of the forms of alluvial fans. *Geographical, Rept., Tokyo Metropolitan Univ.*, **1**, 33 - 43.
- PASSEGA, R. 1957 — Texture as characteristic of clastic deposition. *Bull. Amer. Assoc. Petroleum Geologists*, **41**, 1952 - 1984.
- 1964.— Grain size representation by CM patterns as a geological tool. *J. Sed. Pet.*, **34**, 830 - 847.
- PHILIPPSON, A. 1892.— Der Peloponnes. Versuch einer Landeskunde auf geologischer Grundlage. Nebst einer geologischen und einer topographisch - hypsometrischen Karte mit Isohypsen (in je Blättern 1 : 300.000). *Berlin*.
- POTTER, P. E. and PETTJOHN, F. J. 1963.— Paleocurrents and basin analysis. *Springer Verlag Berlin*, 296 pp.
- ΦΑΡΙΑΝΟΣ, Μ. 1955.— Συμβολή εις τὴν γνῶσιν τοῦ Νεογενοῦς τῆς Πελοποννήσου (Λακωνία). *Γεωλ. Χρον. Ἑλλην. Χωρῶν*, **6**, 151 - 184.
- SAHU, B. K. 1964.— Depositional mechanisms from the size analysis of clastic sediments. *J. Sed. Pet.*, **34**, 73 - 83.
- WALKER, T. R. 1967.— Formation of red beds in modern and ancient deserts. *Geol. Soc. Am. Bull.*, **78**, 353 - 368.
- WILLIAMS, P. F. and RUST, B. R. 1969.— The sedimentology of a braided river. *J. Sedim. Petrol.*, **39**, 649 - 679.
- WINDER, C. G. 1965 — Alluvial cone construction by alpine mudflow in a humid temperature region. *Can. J. Earth Sci.*, **2**, 270 - 277.